

- [1] Бадалян А. Г., Барапов П. Г., Вихнин В. С., Храмцов В. А. // Письма в ЖЭТФ. 1986. Т. 44. № 2. С. 87—89.  
[2] Бадалян А. Г., Барапов П. Г., Вихнин В. С., Петросян М. М., Храмцов В. А. // ЖЭТФ. 1985. Т. 86. № 4. С. 1359—1368.  
[3] Вихнин В. С., Волков А. А., Гончаров Ю. Г., Козлов Г. В. // ФТТ. 1988. Т. 30. № 4. С. 1207—1210.  
[4] Вихнин В. С. // ФТТ. 1972. Т. 14. № 9. С. 2785—2787.

Физико-технический институт  
им. А. Ф. Иоффе АН СССР  
Ленинград

Поступило в Редакцию  
5 января 1989 г.  
В окончательной редакции  
17 марта 1989 г.

УДК 539.292

*Физика твердого тела, том 31, в. 8, 1989*  
*Solid State Physics, vol. 31, N 8, 1989*

## ЧАСТОТНАЯ ЗАВИСИМОСТЬ ИМПЕДАНСА И ГЛУБИНА ПРОНИКОВЕНИЯ МАГНИТНОГО ПОЛЯ В КЕРАМИКЕ $\text{YBa}_2\text{Cu}_3\text{O}_{7-\delta}$

Я. В. Копелевич, В. В. Леманов, А. Л. Холкин

Высокотемпературные сверхпроводники представляют собой среду с множественными слабыми связями. При этом магнитное поле может легко проникать в сверхпроводник в виде гипервихрей [1], обусловливая малые значения нижнего критического поля (менее  $10^{-1}$  Э) и аномально большую глубину проникновения, достигающую  $10^{-1}$  см [2—5]. Однако в ряде работ [6, 7] получены существенно меньшие значения глубины проникновения,  $\lambda \approx 10^{-4} \div 10^{-5}$  см. Такой разброс данных связан, по-видимому, с различными методами определения  $\lambda$ , когда измеряется либо глубина проникновения, обусловленная слабыми связями, либо глубина проникновения однородного сверхпроводника.

В настоящей работе предлагается метод определения эффективной глубины проникновения магнитного поля из частотных и температурных зависимостей модуля полного электрического сопротивления керамических образцов.

Образцы для измерений представляли собой параллелепипеды с размерами  $10 \times 1 \times 1$  мм. Технология изготовления керамических образцов описана в [5]. Температура сверхпроводящего перехода составляла 92 К, а плотность критического тока при 77 К в отсутствие внешнего магнитного поля  $j_c \approx 10$  А/см<sup>2</sup>. Измерения сопротивления на переменном токе в диапазоне частот  $\omega/2\pi$  от 0.1 до 1 МГц проводились обычным четырехзондовым методом. Контакты создавались вжиганием серебряной пасты при 200 °C, и их сопротивление не превышало 10<sup>-3</sup> Ом·см<sup>2</sup>. Измерительный ток изменялся от 1 до 10 мА. Все измерения проводились в магнитном поле Земли в интервале температур от 4.2 до 290 К.

На рис. 1 приведены частотные зависимости модуля полного электрического сопротивления  $|Z|$  при разных температурах. В нормальной фазе, как и следовало ожидать,  $|Z|$  не зависит от частоты, поскольку основной вклад в импеданс вносит активное сопротивление. В сверхпроводящей фазе, начиная с некоторой частоты, наблюдается линейный рост  $|Z|$  при увеличении  $\omega$ . Отсюда можно сделать вывод, что основной вклад в импеданс связан с индуктивным сопротивлением. Определяя индуктивность  $L$  из тангенса угла наклона зависимостей на рис. 1, можно получить температурную зависимость  $L(T)$  (рис. 2). Определенная таким образом индуктивность складывается из геометрической индуктивности образца

$L_r$ , которая не зависит от температуры, и из кинетической индуктивности  $L_k$ , которая определяется некоторой эффективной глубиной проникновения. Нижнюю оценку для кинетической индуктивности можно получить, если считать, что вся температурно-независимая часть полной индуктивности есть геометрическая индуктивность,  $L_r \approx 5 \cdot 10^{-10}$  Гн = 0.5 см. Тогда для кинетической индуктивности при 77 К получаем  $L_k \geq 2.5 \cdot 10^{-10}$  Гн. Кинетическая индуктивность связана с эффективной глубиной проникновения с помощью соотношения  $L_k = 4\pi\mu^2 l/S$ , где  $l$ ,  $S$  — длина и площадь сечения образца;  $\mu$  — магнитная проницаемость. В наших образцах в слабых магнитных полях, соответствующих смешанному состоянию на гипервихрях [1], наблюдается выталкивание магнитного

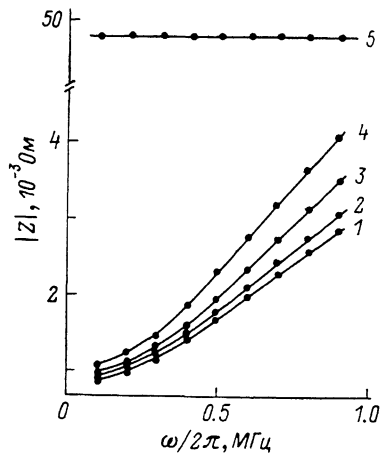


Рис. 1. Частотные зависимости модуля полного электрического сопротивления при  $T=4.2$  (1), 33 (2), 77 (3), 87 (4) и 290 K (5).

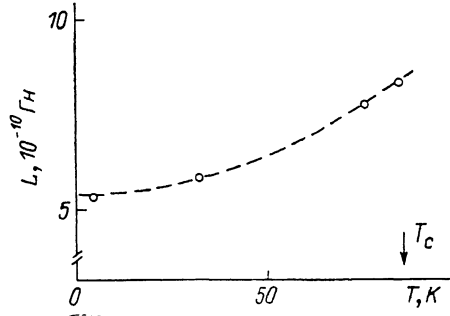


Рис. 2. Температурная зависимость полной индуктивности образцов в сверхпроводящей фазе.

потока примерно на 90 %, что отвечает величине магнитной проницаемости  $\mu \approx 10^{-1}$ . Используя экспериментальное значение  $L_k$ , получаем  $\lambda \geq 5 \cdot 10^{-2}$  см.

Оценим далее характерные глубины проникновения: глубину проникновения в однородный сверхпроводник; глубину проникновения, обусловленную слабыми связями; глубину скин-слоя на верхнем пределе исследованного диапазона частот.

Величина, соответствующая глубине проникновения в однородный сверхпроводник  $\lambda_L$ , определяется масштабом  $(\Phi_0/H_c)^{1/2}$ , где  $H_c$  — нижнее критическое поле однородного сверхпроводника. Учитывая, что в наших образцах  $H_c \approx 400$  Э при 77 K [6], получаем  $\lambda_L \approx 10^{-5}$  см.

Для глубины проникновения по слабым связям справедлива оценка [1, 8]

$$\lambda_0 \approx \Phi_0 c / 16\pi^3 j_c \lambda_L, \quad (1)$$

где  $\Phi_0$  — квант магнитного потока. Подставляя известные величины  $j_c$  и  $\lambda_L$ , имеем  $\lambda_0 \approx 10^{-2}$  см.

Наши образцы в магнитном поле Земли находятся в смешанном состоянии [5], поэтому величина  $\lambda_0$  изменяется в соответствии с соотношением [8]

$$\lambda^2 = \lambda_0^2 \left( 1 + \frac{H\Phi_0}{4\pi\lambda_0^2} \frac{1}{k - i\omega\eta} \right). \quad (2)$$

Здесь  $k = f_p/d$  — параметр силы пиннинга,  $f_p$  — сила пиннинга на единицу длины вихря,  $d$  — размер сверхпроводящей гранулы,  $\eta$  — коэффициент трения гипервихрей,  $\lambda_0$  — глубина проникновения в мейснеровском состоянии.

Оценим далее величины  $k$  и  $\eta$ . Для гранулированного сверхпроводника в случае  $\lambda_L \ll d$  магнитная проницаемость выражается как  $\mu \approx \lambda_L/d$  [1]. Отсюда получаем  $d \approx 10^{-4}$  см. Отметим, что  $d$  есть характерный размер «гранулы» однородного сверхпроводника, которая может быть значительно меньше керамической гранулы. Используя значение  $f_p \approx \approx 10^{-8}$  дин/см из работы [5], имеем  $k \approx 10^{-4}$  дин/см<sup>2</sup>. Из данных той же работы [5] можно получить удельное сопротивление в смешанном состоянии  $\rho_f \approx 10^{-5}$  Ом·см и коэффициент вязкости  $\eta = H\Phi_0/c^2\rho_f \approx 5 \times 10^{-12}$  дин·с/см<sup>2</sup>. Отметим, что эта величина находится в хорошем согласии с теоретической оценкой коэффициента вязкости гипервихрей [8]  $\eta = \Phi_0^2\sigma_n/c^2d^2$ , где  $\sigma_n$  — проводимость в нормальной фазе. При  $\sigma_n \approx 10^3$  Ом<sup>-1</sup>·см<sup>-1</sup> получаем  $\eta \approx 10^{-12}$  дин·с/см<sup>2</sup>.

Таким образом, в исследованном диапазоне частот выполняется соотношение  $k \gg \omega\eta$ , т. е. реализуется режим пиннинга вихрей (противоположный случай отвечает режиму вязкого течения вихрей), и для глубины проникновения получаем  $\lambda \approx 1.4\lambda_0$ , т. е. глубина проникновения в нашем случае незначительно превосходит глубину проникновения в мейснеровском состоянии.

И, наконец, для глубины скин-слоя имеем  $\delta^2 = c/2\pi\omega\sigma_n$ . Подставляя в эту формулу приведенные выше значения параметров, получаем для частоты 1 МГц  $\delta \approx 0.5$  см.

Полученные соотношения для характерных глубин проникновения  $\lambda_L \ll \lambda \ll \delta$  показывают, что основной вклад в кинетическую индуктивность вносят слабые связи. При этом экспериментальное значение глубины проникновения разумно согласуется с теоретической оценкой. Полученному значению  $\lambda$  соответствует нижнее критическое поле  $H_{c_1} \approx \Phi_0/\lambda^2 \approx 10^{-5}$  Э.

Таким образом, для керамических образцов YBaCu<sub>3</sub>O<sub>7-δ</sub> действительно характерны аномально большие глубины проникновения и очень малые значения нижнего критического поля, что согласуется с представлениями о среде с множественными слабыми связями. При увеличении критических токов естественно ожидать уменьшения эффективной глубины проникновения.

Авторы благодарят Э. Б. Сонина и А. К. Таганцева за обсуждение результатов работы.

#### Список литературы

- [1] Сонин Э. Б. // Письма в ЖЭТФ. 1988. Т. 22. № 5. С. 415—418.
- [2] Rosenblatt J., Peyral P., Rabouet A., Lebeau C. // Physica B. 1988. V. 152. N 1/2. Р. 95—99.
- [3] Гаспаров В. А., Ван дер Маас Я., Хюгена Р., Павука Д. // Тез. докл. XXV Всесоц. совещ. по физике низких температур. Л., 1988. Ч. 1. С. 308—309.
- [4] Блинов Е. В., Кулешов П. П., Семенченко М. Г., Степанов Ю. П., Флейшер В. Г. // ФТТ. 1988. Т. 30. № 7. С. 2249—2251.
- [5] Копелевич Я. В., Леманов В. В., Сонин Э. Б., Сырников П. П. // ФТТ. 1988. Т. 30. № 8. С. 2432—2436.
- [6] Cooper J. R., Chu C. T., Zhou L. W. et al. // Phys. Rev. B. 1988. V. 37. N 1. P. 638—644.
- [7] Harshmann D. R., Aepli G., Ansaldi E. J. et al. // Phys. Rev. B. 1987. V. 36. N 4. P. 2386—2389.
- [8] Сонин Э. Б., Таганцев А. К. // ЖЭТФ. 1989. Т. 95. № 3. С. 994—1004.

Физико-технический институт  
им. А. Ф. Иоффе АН СССР  
Ленинград

Поступило в Редакцию  
17 марта 1989 г.